

Д. Г.-М. Н.  
**Б. А. Мальков\***  
elmal@online.ru



С. Н. С.  
**В. Н. Филиппов**



К. Г.-М. Н.  
**И. В. Швецова**  
litgeo@geo.komisc.ru

\* Кomi госпединститут, Сыктывкар

Самородное олово в виде мельчайших шариков и желвачков было встречено в протолочных пробах метаморфических пород хребта Пае, в 35 км юго-восточнее мыса Канин Нос. Краткие предварительные сведения об этой находке были опубликованы [7]. Дальнейшее исследование на микрозонде позволило нам уточнить структуру и минеральный парагенезис канинского самородного олова и, тем самым, понять необычные условия его образования. Обобщение всех новых и опубликованных ранее результатов составляет суть настоящей работы. Район наших исследований находится на северо-западной оконечности хребта Пае, где мощная (до 14 км) северо-западного простирания с северо-восточным падением моноклинальная толща рифейских терригенных пород тархановской серии представлена кварцитами, алевролитами и сланцами, метаморфизованными в условиях фации зелёных сланцев [8]. В ней присутствуют немногочисленные кливажированные тела метадиабазов. Породы верхов разреза в устьях рек Большой и Малой Пидерцелхи обрываются мощной зоной дробления, за которой в полосе прилива-отлива на берегу Баренцева моря обнажается метаморфическая толща, прорванная интрузиями сиенито-монцонитов, грейзенизованных гранитов и пегматитов, содержащих мелкие зёрна кассiterита [4]. Возраст гранитных пегматитов, определённый K-Ag методом по мусковиту, примерно 640 млн лет. Возраст гранитов лежит в пределах 550—535 млн лет [4, 8]. Возраст метаморфизма пород тарханов-

ской серии, определённый тем же методом, составляет 500—550 млн лет [4, 6, 8]. Изучение и опробование метаморфической толщи проводилось вдоль поперечного хребту Пае геологического профиля: от устья речки Песцовой, впадающей в Белое море (на юго-западе), до устья реки Малой Пидерцелхи, впадающей в Баренцево море (на северо-востоке). Истоки этих рек сходятся на узком водораздельном плато, и это позволяет наблюдать вдоль всего профиля почти непрерывный разрез рифейских отложений, залегающих круто моноклинально с преобладающим падением на северо-восток [8]. Моноклиналь осложнена флексурными перегибами с пологим, вертикальным или местами крутым обратным падением пластов. В тяжёлой фракции пяти изученных протолочных проб (массой 3—5 кг), взятых вдоль профиля, было обнаружено самородное олово в форме желвачков, шариков, лепёшек, проволочек и дендритов в количестве 20—30 мг на пробу (рис. 1—2). Размер (диаметр) оловянных желвачков и шариков варьирует от сотых долей до 0.8 мм, но чаще всего в пределах 0.1—0.3 мм. Некоторые зёрна несут следы позднейших механических деформаций, полученных при дроблении проб. Поверхность оловянных шариков и желвачков гладкая, шероховатая или мелкобугорчатая от многочисленных наростов матричных минералов. Изредка встречаются шероховатые шарики, более тёмные по цвету, серые, с тусклым блеском.

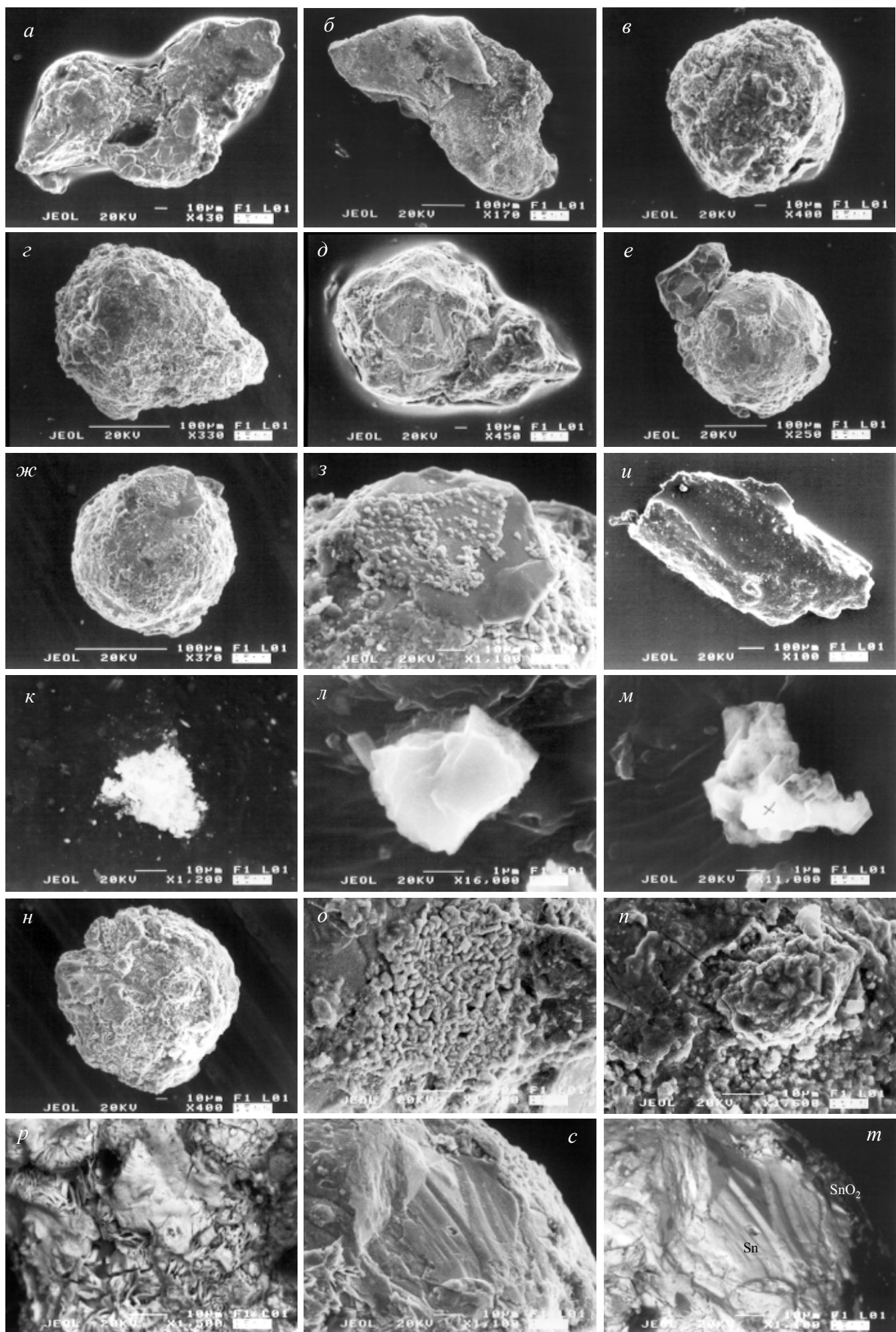
Оловянные шарики в кварцитопесчаниках и метавулканитах обычно не-

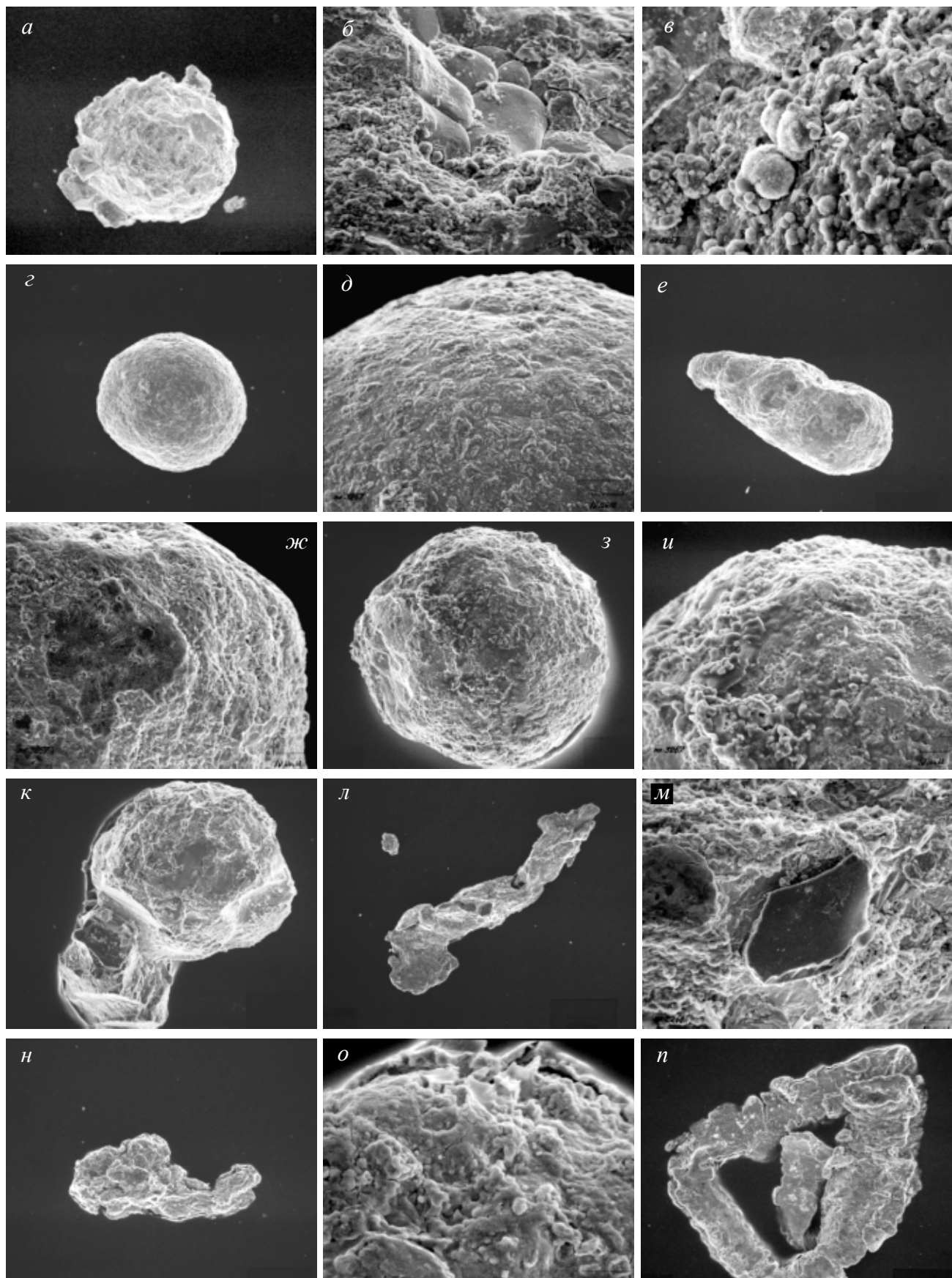
## САМОРОДНОЕ ОЛОВО И КОЛЛОМОРФНЫЙ КАССИТЕРИТ В ЗЕЛЕНОСЛАНЦЕВЫХ МЕТАМОРФИТАХ ХРЕБТА ПАЕ НА ПОЛУОСТРОВЕ КАНИН

сут на поверхности минеральные коронки из зёрен кварца, калишпата, чешуек биотита (рис. 1—2). Состав всех этих минералов был изучен на микрозонде. Анализ проводился на сканирующем электронном микроскопе JSM-6400 с энергетическим спектрометром Link. Срастания олова с кварцем, калишпатом, биотитом взаимопроникающие и большей частью сингенетические. Интересны взаимоотношения самородного олова с графитом. Присутствие графитизированной органики в метаморфических сланцах и алевролитах тархановской серии кроме нас отмечали и другие исследователи. На поверхности продолговатых зёрен графита длиной 1 мм и поперечником 0.2 мм, напоминающих растительные фрагменты, находятся угловатые мелкие (около 30 мкм) включения самородного олова, покрытые тончайшими новообразованиями абхурита (рис. 1, и, к, л, м). В этой связи вспоминается присутствие самородного олова в углеродистых сланцах рифея машакской свиты на Южном Урале [5]. В обоих случаях угадывается барьера функция углеродистого вещества при осаждении на нём самородного олова, как и ряда других минералов.

Оловянные шарики при рентгеновском изучении оказались шаровыми монокристаллами с микроблочкой, судя по заметному астеризму точечных рефлексов, структурой. Величина блоков, вычисленная по длине пятен на лаузграмммах, равна 70—100 Е, а параметры элементарной ячейки олова:  $a_0 = 5.80$ ,  $c_0 = 3.18$  Е. Лаузграмма серых шариков самородного олова, имеющая

**Рис. 1.** Самородное олово в метаморфитах хребта Пае: а—г — основные морфотипы выделений самородного олова: шарики (в), желвачки (г), "лепёшки" (а, б); д—и — сростки самородного олова с калишпатом (д), кварцем (е), биотитом (ж, з), графитом (и, к), где "и" — выделение графита, "к" — самородное олово на поверхности графита; л—м — наросты абхурита (л) и самородного олова (крестик в центре) в оторочке абхурита (м) на поверхности графита (и); н—т — оловянный шарик (н), покрытый корочкой "деревянистого" кассiterита (о, п), под которой видна рифлёная поверхность самородного олова (р, с, т). Сканирующий электронный микроскоп





**Рис. 2.** Морфология и структура поверхности самородного олова: а — оловянный шарик с короной из зёрен кварца и “б, в” — детали её поверхности; б — самородное олово (в центре) под корочкой “деревянистого” кассiterита; в — почковидные выделения “деревянистого” кассiterита; г — относительно “гладкий” оловянный шарик и “д” — корочка “деревянистого” кассiterита на нём; е — оловянная булава и “ж” — слюда на её поверхности; з — оловянный шарик с очень неровной поверхностью и “и” — почковидные наросты “деревянистого” кассiterита на нём; к — стросток оловянного шарика с равновеликим зерном кварца; л — оловянная проволочка с включениями-вростками слюды на её поверхности; м — включения слюды в корочке кассiterита; н — оловянный “башмачок”; о — корочка “деревянистого” кассiterита на “башмачке” и механические трещинки на ней; п — оловянный треугольник. Сканирующий электронный микроскоп



Таблица 1

**Химический состав калишпата, биотита, кварца, “деревянистого” касситерита из сростков и наростов на самородном олове, мас. %**

	1	2	3	4	5	6
Компонент	Калишпат	Калишпат	Биотит	Кварц	Кварц	Касситерит
Al <sub>2</sub> O <sub>3</sub>	17.95	18.83	24.26	0.89	0.97	-
SiO <sub>2</sub>	61.18	64.18	44.21	90.85	99.03	0.68
TiO <sub>2</sub>	-	-	2.40	-	-	-
K <sub>2</sub> O	14.71	15.43	9.11	-	-	-
CaO	0.56	0.59	-	-	-	0.68
MgO	-	-	12.95	-	-	-
Fe <sub>2</sub> O <sub>3</sub>	-	-	21.06	-	-	-
BaO	0.95	1.00	-	-	-	-
MnO	-	-	0.36	-	-	-
SnO <sub>2</sub>	4.14	-	0.33	11.68	-	98.33
CuO	-	-	-	-	-	0.68
Сумма	99.49	100.0	114.68	103.42	100.0	100.37

**Примечание.** 1—2 — калишпат барийевый в тесном срастании с оловянным шариком; 3 — биотитовая чешуйка на поверхности оловянного шарика; 4—5 — кварц из сростка с оловянным шариком; 6 — “деревянистый” касситерит, образующий корочку на оловянном шарике. Все минералы из кварцитопесчаников на р. Песцовой, п-ов Канин. Анализы 2, 5 скорректированы после исключения примеси SnO<sub>2</sub>. Плохая сумма анализа биотита вызвана рельефным фактором. Анализы выполнены на микрозонде.

Таблица 2

**Химический состав абхурита, перита, галенита из вкраплений и наростов на самородном олове, мас. %**

	1	2	3	4	5	6	7	8
Компонент	Олово	Олово	Абхурит	Абхурит	Перит	Перит	Перит	Галенит
Al	0.27	-	0.54	0.43	-	-	-	-
Si	0.28	-	0.35	0.26	-	-	-	-
Ca	-	-	-	0.46	4.33	2.82	3.33	9.87
Sn	99.89	100.35	72.69	80.12	3.36	1.97	2.60	4.70
Cu	0.59	0.96	-	-	0.81	0.71	0.71	0.83
Pb	-	-	-	-	41.27	39.78	42.15	47.88
Bi	-	-	-	-	31.11	38.12	38.50	-
Cl	0.26	-	16.33	14.49	5.67	5.30	6.32	-
O	-	-	-	-	9.64	9.23	-	-
S	-	-	-	-	-	-	-	6.28
Сумма	101.29	102.72	90.28	95.76	96.22	97.93	94.28	69.56

**Примечание.** 1 — вкрапление самородного олова (около 30 мкм) в графите (?) из кварцитопесчаника; 2 — самородное олово под микронной корочкой касситерита на оловянном шарике; 3 — абхурит с самым высоким (около 41.25 ат. %) содержанием Cl, близким теоретическому (43.2 ат. %), образует тонкую корочку на самородном олове; 4 — абхурит с пониженным (около 36.38 ат. %) содержанием хлора на поверхности оловянного шарика-сростка с кварцем; минералы 1—4 извлечены из кварцитопесчаника, р. Песцовая, п-ов Канин; 5—7 — перит на поверхности оловянного шарика (D~180 мкм) из алевролита с р. М. Пидерцелхи, п-ов Канин; 8 — галенит-микронник на поверхности оловянного шарика в окружении кальцита. Присутствие Ca в анализах 5—8 связано с фоном кальцита.

вид диффузных колец, свидетельствует об их поликристаллической структуре и микрослоистой текстуре. Астеризм рефлексов белого олова отражает первичное ростовое несовершенство монокристаллов.

Спектральный полуколичественный анализ зафиксировал присутствие в самородном олове 17 элементов-примесей, содержание которых в сумме достигает 5.4 % мас. [7]. Важнейшие из них — Pb, Cu, Bi, Ag — обусловлены наличием рудных минеральных включений. Примеси Ca, Mg, Al, Si, Ti, Fe явно связаны с микровключениями биотита, калишпата и кварца (табл. 1). Рудные минералы представлены микровключениями галенита, перита PbBiO<sub>2</sub>Cl, абхурита Sn<sub>21</sub>Cl<sub>16</sub>(OH)<sub>14</sub>O<sub>6</sub> и корочками “деревянистого” касситерита, пятнами абхурита и какого-то сульфата меди (табл. 1—2). На поверхности многих оловянных желвачков наблюдается тонкая корочка колломорфных почковидных выделений “деревянистого” касситерита (табл. 1).

Метаморфический парагенезис канинского самородного олова своеобразен. Он включает как метаморфические минералы: биотит, микроклин, так и “гидротермальные”: галенит, перит, “деревянистый” касситерит, абхурит и сульфаты меди. Колломорфный “деревянистый” касситерит обычно характерен для гидротермальных месторождений малых глубин. Абхурит впервые был обнаружен в 1993 г. вблизи селения Шарм Абхур в Красном море как продукт изменения оловянных слитков, извлечённых из трюмов затонувших кораблей. В нашем случае абхурит находится не только на поверхности оловянных шариков, но и внутри них, что зафиксировали микрозондовые анализы. То есть канинский абхурит, в отличие от археологического аналога, имеет низкотемпературное эндогенное происхождение. В литературе абхурит и перит обычно упомина-

ются в списке скарновых и гидротермальных минералов [12].

Самородное олово присутствует во всех разновидностях зеленосланцевых метаморфитов тархановской серии, включая кварцитопесчаники, алевролиты и сланцы. Очевидно, что образо-

вание желвачков самородного олова связано с зеленосланцевым метаморфизмом оловосодержащих терригенных отложений. Метабластический рост шаровых кристаллов самородного олова происходил при участии метаморфогенных флюидов. Обрастанние



олова “деревянистым” касситеритом и абхуритом происходило, вероятно, уже при заключительных низкотемпературных стадиях процесса. Оловянные желвачки подобного состава и, вероятно, такого же происхождения установлены в углеродистых сланцах машакской свиты среднего рифея на западном склоне Южного Урала [5]. Самородное олово пользуется довольно широким распространением. Оно присутствует в аллювиальных платиноносных россыпях Среднего Урала на реке Ис [1] и в элювии, заполняющем современные трещины в коренных породах золотопалладиевого рудопроявления Чудного на Приполярном Урале [15]. По наблюдениям А. Г. Бетехтина, самородное олово встречается главным образом в россыпях вместе с самородной платиной, осмистым иридием, золотом и касситеритом. Ещё в начале прошлого века оно было обнаружено им на Северном Урале и в Миасском районе [2]. В виде округлых зёрен до 1 мм в поперечнике, похожих на дробинки, в ассоциации с касситеритом, арсенопиритом, галенитом, пиритом и самородным золотом оно присутствует в золотоносных россыпях Французской Гвианы, Нигерии, Ново-го Южного Уэльса (Австралия), Боливии [9]. Постмагматическое и гидротермальное самородное олово обнаружено в сиенитах, гранит-порфирах, кварцевых жилах Северной Киргизии [13]. Олово присутствует в кварцевых жилах по р. Коренной, левому притоку р. Цильмы на Среднем Тимане [10]. Здесь же в верхнем течении р. Цильмы (ниже устьев Верхней Сенки и Коренной) самородное олово присутствует вместе с золотом и шеелитом в шлихах, взятых из аллювия [10]. Гидротермальное олово было найдено в урановых рудниках Биверлоджа в Саскачеване в трещинах среди глинистых сланцев в парагенезисе с урановой смолкой, пиритом, халькопиритом, борнитом, халькоzinом, сфалеритом, галенитом, поздним кальцитом. При этом зёрна самородного олова величиной до 1.5 мм вдаются в виде язычков в трещины сопровождающих минералов, что позволяет считать его самым поздним низкотемпературным гидротермальным минералом [11].

Обсуждая возможный первоисточник самородного олова в метаморфиках хребта Пае, необходимо учитывать широкую геохимическую распространённость этого элемента в породах зем-

ной коры. Так, обширные данные свидетельствуют о вариациях содержаний олова от 5 до 24 г/т в осадочных породах разного состава: в аргиллитах, алевролитах, песчаниках, кремнистых породах, современных пелагических осадках, а также в современных илах, обогащённых вулканогенным материалом, на дне океанов. В железомарганцевых конкрециях оно достигает 400 г/т, при среднем содержании 189 г/т. Среднее содержание олова в земной коре, по данным разных авторов, варьирует от 1.5 до 8.0 г/т [12]. При метаморфизме пород происходит, как известно, перераспределение многих элементов, в том числе и олова. В рассмотренном нами примере такое перераспределение олова происходит при слабом зеленосланцевом метаморфизме оловоносных терригенных пород тархановской серии с метабластическим формированием шарообразных телес самородного олова в парагенезисе с биотитом, калишпатом и рядом рудных низкотемпературных минералов: “деревянистым” касситеритом, галенитом, перитом, абхуритом. Это очень напоминает генезис порфиробластов ильменита в канино-тиманских метаморфитах, образующихся за счёт первично рассеянного титана в пелитах и алевролитах при их зеленосланцевом метаморфизме. Разница лишь в том, что многочисленные порфиробlastы ильменита можно легко увидеть под микроскопом, а идиобласты самородного олова *in situ* в шлифах и аншлифах горных пород наблюдать не удается. Именно поэтому нам пришлось довольствоваться только извлечённым из протолочек самородным оловом в срастаниях его с протогеничными и сингенетичными минералами. Существует большая вероятность встретить самородное олово в канино-тиманских россыпях девонского возраста вместе с касситеритом и обильным метаморфогенным ильменитом, тем более что отдельные находки касситерита, по данным Д. П. Сердюченко, известны среди метаморфических сланцев Ухтинского района [10].

В итоге проведённых нами исследований удалось выявить малоизвестный метаморфический тип парагенезиса самородного олова, объясняющий присутствие последнего во многих мировых россыпях вместе с золотом, платиной, осмистым иридием, касситеритом.

Мы весьма признательны специалисту по металлогенезу олова д. г.-м. н.

С. М. Родионову за проявленный интерес, плодотворную дискуссию и полезную информацию по интересующей нас проблеме.

## Литература

1. Александров А. И. О самородном олове в аллювиальных россыпях реки Ис (Средний Урал) // Зап. ВМО. 1955. Ч. 84. Вып. 4. С. 462.
2. Бетехтин А. Г. Курс минералогии. М.: Госнаучтехиздат, 1956. 558 с.
3. Дэна Дж. Д., Дэна Э. С., Пэлач Ч. И. и др. Система минералогии. Т. 1. Элементы, сульфиды, сульфосоли. М.: Изд-во ИЛ, 1950. С. 149—150.
4. Ивенсен Ю. П. Магматизм Тимана и полуострова Канин. М.; Л.: Наука, 1964. 142 с.
5. Ковалёв С. Г., Сначев В. И., Высоцкий И. В. Новый тип благороднометаллической минерализации на западном склоне Южного Урала // Ежегодник - 1996. Информационные материалы. Уфа, 1998. С. 93—94.
6. Мальков Б. А. Петрология дайковой серии щелочных габброидов Северного Тимана. Л.: Наука, 1972. 128 с.
7. Мальков Б. А., Мельникова Е. М., Швецова И. В. Микроконкреции самородного олова в метаморфических породах хребта Канин // Геология северо-востока Русской платформы и Приполярного Урала. Сыктывкар, 1965. С. 67—69. (Тр. Ин-та геологии Коми фил. АН СССР. Вып. 5).
8. Мальков Б. А., Пучков В. Н. Стратиграфия и структура метаморфических толщ полуострова Канин и Северного Тимана // Вопросы геологии северо-востока Русской платформы, Печорского Урала и полуострова Канин. (Тр. Ин-та геологии Коми фил. АН СССР. Вып. 4) Сыктывкар, 1963. С. 46—56.
9. Минералы: Справочник. Т. 1. Самородные элементы, интерметаллические соединения и др. М.: Изд-во АН СССР, 1960. С. 58—60.
10. Производительные силы Коми АССР. Т. 1. Геологическое строение и полезные ископаемые. Изд-во ИН СССР, 1953, 464 с.
11. Рамдор П. Рудные минералы и их срастания. М.: Изд-во ИЛ, 1962. 1132 с.
12. Родионов С. М. Металлогенез олова Востока России. М.: Наука, 2005. 327 с.
13. Туровский С. Д. О находке самородного олова в Северной Киргизии // Тр. Ин-та геологии АН КиргССР, 1956. Вып. 8.
14. Швецова И. В., Мальков Б. А. Касситерит и самородное олово на Тимане и полуострове Канин // Минералы и минеральные месторождения европейского северо-востока России. (Тр. Ин-та геологии Коми НЦ УрО РАН. Вып. 83.) Сыктывкар, 1994. С. 102—107.
15. Шумилов И. Х., Осташенко Б. А. Минерало-технологические особенности Au-Pd-TR оруденения на Приполярном Урале // Сыктывкар: Геопринт, 2000. 100 с.